

## ОБРАЗОВАНИЕ ОКСИДОВ АЗОТА В ДЕТОНАЦИОННЫХ ВОЛНАХ

© 2011 г. С. М. Фролов\*, В. Я. Басевич, В. С. Аксенов, П. А. Гусев, В. С. Иванов,  
С. Н. Медведев, В. А. Сметанюк, К. А. Авдеев, Ф. С. Фролов

Институт химической физики им. Н.Н. Семенова Российской академии наук, Москва

\*E-mail: smfrol@center.chph.ras.ru

Поступила в редакцию 18.03.2011

С помощью детальных кинетических расчетов и экспериментов показано, что эмиссионные показатели детонационных горелочных устройств (ДГУ) по оксидам азота значительно ниже, чем в существующих мощных горелках-аналогах. При некоторых условиях, применимых в основном к ДГУ с вращающейся детонацией, основным компонентом оксидов азота может оказаться  $N_2O$ .

*Ключевые слова:* детонация, эмиссия оксидов азота, расчет, эксперимент.

При разработке новых энергосберегающих технологий на основе импульсно-детонационного горения [1] или горения во вращающейся детонационной волне [2] всегда возникает вопрос об экологических показателях процесса, особенно об ожидаемом выходе оксидов азота. Дело в том, что в детонационных горелочных устройствах (ДГУ) рабочий процесс будет проходить в режиме самовоспламенения при высоких давлениях и температурах в бегущей детонационной волне. В связи с этим часто высказывается мнение, что выход оксидов азота в ДГУ будет несопоставимо велик по сравнению с существующими мощными горелками-аналогами, работающими на медленном горении. Однако имеется и другая, противоположная точка зрения: ожидается, что вследствие очень короткого времени сгорания горючей смеси в ДГУ и быстрого расширения продуктов детонации эмиссионные показатели оксидов азота будут ниже, чем в существующих горелках-аналогах. Цель данной работы – прояснить этот вопрос на основе детальных кинетических расчетов и экспериментальных исследований образования оксидов азота в волне детонации.

Для расчетов использовали применявшийся ранее детальный кинетический механизм (ДКМ) окисления и горения метана, дополненный блоком реакций молекулярной группы H–C–N–O, описывающих образование “быстрого” и “термического” оксидов азота [3], и блоком реакций образования  $N_2O$ .

Для определения условий образования оксидов азота в детонационной волне использовали кинетическую программу, предусматривающую постоянство давления. Эту программу применили к условиям, когда временные профили температуры и давления – переменные. Профили определяли из

одномерного газодинамического расчета, в котором пренебрегали молекулярными тепло- и массообменом, имея в виду относительно большие характерные времена этих процессов по сравнению с характерными временами химических и газодинамических процессов за фронтом волны.

Для проведения кинетических расчетов профили давления  $P(t)$  и температуры  $T(t)$  аппроксимировали кусочно-ступенчатыми функциями. В кинетической программе поэтапно задавали ступенчатое давление  $P_1, P_2, \dots, P_i$ , ( $i$  – число шагов). Начальную температуру  $T_{01}$  на первом шаге подбирали такой, чтобы после самовоспламенения смеси значение температуры было таким же, как в детонационной волне. На каждом последующем отрезке текущую начальную температуру  $T_{0i}$  задавали постоянной, т.е. соответствующей  $T(t)$ , полученной в газодинамическом расчете.

На рис. 1 представлены результаты расчета образования оксида азота NO по изложенной выше методике. Резкий подъем (почти вертикальный) концентрации NO в момент прихода детонационной волны ( $t \approx 0.2$  мс) соответствует образованию “быстрого” оксида азота, получающегося в цепи реакций, начало которой, как это предполагается, создается взаимодействием радикалов CH и  $CH_2$  с молекулярным азотом воздуха. Отметим, что экспериментально “быстрый” оксид азота наблюдался только в ламинарных пламенах, и модели его образования разрабатывались тоже только применительно к этим пламенам, а не к детонационным волнам. На рис. 1 при  $t > 0.5$  мс (через  $\approx 0.3$  мс после прихода волны детонации) рост концентрации NO прекращается на уровне 276 ppm. На этих временах

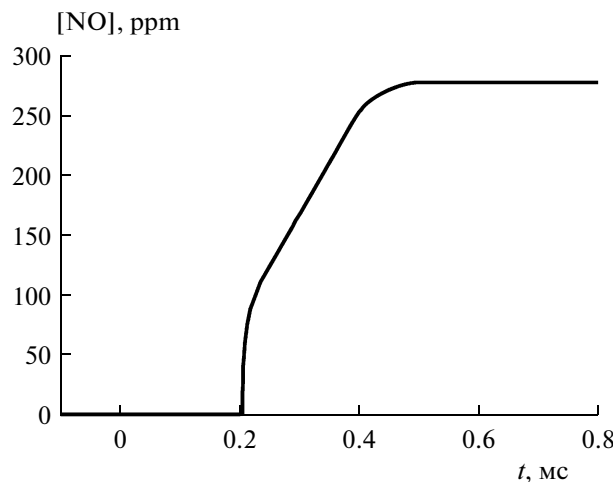


Рис. 1. Расчет образования NO по кинетической программе с применением ДКМ.

концентрация  $N_2O$  в продуктах детонации стехиометрической смеси была пренебрежимо мала.

Для проверки расчетов нами были проведены измерения выхода оксидов азота  $NO_x$  на экспериментальном образце импульсно-детонационного горелочного устройства (ИДГУ), работающего на природном газе с 98.9%-ным содержанием метана. Описание ИДГУ и его работы приведено в [4]. Здесь лишь отметим, что детонационная труба в ИДГУ имела диаметр 94 мм, близкий к предельному диаметру детонации стехиометрической метановоздушной смеси, и длину 3600 мм. Переход горения в детонацию происходил на расстоянии  $\sim 2000$  мм до открытого выходного сечения трубы, так что в конце трубы, где отбирались пробы продуктов детонации, сгорание смеси происходило в детонационном режиме. Забор проб проводился при помощи зонда с обратным клапаном и флейтой для рассеивания направленного движения продуктов детонации. Трубку зонда вставляли в трубу ИДГУ вдоль оси на глубину 500 мм от выходного сечения. Измерение содержания оксидов азота в продуктах детонации проводили с помощью газоанализатора "Testo 335" (производство Testo AG, Германия).

Для детонационной волны, распространяющейся по стехиометрической смеси природного газа с воздухом при  $P_0 = 0.1$  МПа и  $T_0 = 293$  К, экспериментально получено среднее (по серии опытов) значение концентраций оксидов азота  $[NO_x] \approx 210$  ppm, в том числе  $[NO] \approx 203$  ppm.

Расчетное значение выхода NO (276 ppm) удовлетворительно согласуется с измеренным (203 ppm), особенно если учесть, что в эксперименте наблюдался околопредельный (спиновый) режим детонации с дефицитом средней скорости в 100–200 м/с по отношению к термодинамическому

значению для стехиометрической метановоздушной смеси ( $\approx 1800$  м/с). Действительно, вследствие меньшей скорости волны температура продуктов детонации в экспериментах была ниже, чем в расчете, и, следовательно, измеренный выход NO должен быть ниже.

Для сравнения полученного расчетного и измеренного выхода NO с характеристиками существующих аналогов в качестве аналогов следует рассматривать мощные промышленные горелочные устройства с высокой принудительной подачей топливных компонентов и высокой температурой горения. В таких горелочных устройствах предусмотрен предварительный подогрев воздуха, поступающего в камеру сгорания. Выход  $NO_x$  в таких горелках достигает 500–700 ppm [5]. Даже применение самых современных схем многостадийного горения в таких горелках позволяет снизить выход  $NO_x$  только до уровня 400 ppm, что в 1.5–2 раза выше, чем показатели, полученные в ИДГУ. Таким образом, эмиссионные показатели ИДГУ по выходу оксидов азота оказались значительно ниже, чем в существующих мощных горелках-аналогах.

При проведении кинетических расчетов образования оксидов азота в детонационных волнах нами обнаружена интересная особенность, касающаяся соотношения разных оксидов азота в продуктах детонации. В ДКМ были включены известные реакции образования и расходования  $N_2O$  (семь прямых и, соответственно, столько же обратных элементарных реакций). Расчеты по кинетической программе показали, что при самовоспламенении бедной метановоздушной смеси с коэффициентом избытка окислителя  $\alpha = 2$  существуют условия, когда концентрация  $N_2O$  выше концентрации NO:  $[N_2O] > [NO]$ . Такие условия достигаются на очень малых

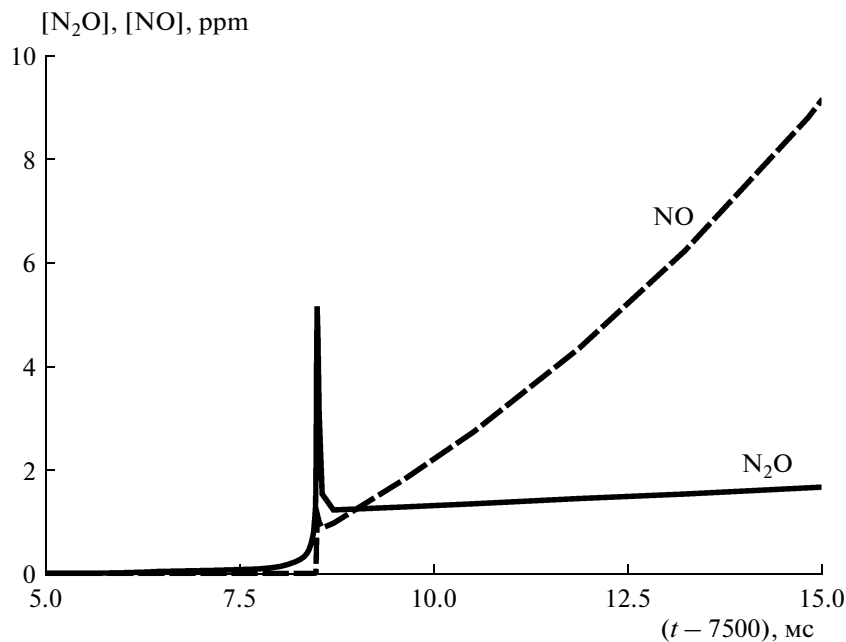


Рис. 2. Образование  $\text{N}_2\text{O}$  и  $\text{NO}$  при самовоспламенении метановоздушной смеси. Состав смеси:  $\alpha = 2$ ,  $P_0 = 2.4$  МПа,  $T_0 = 650$  К. Конечная температура горения – 2043 К.

временах (порядка 0.1 мс). На рис. 2 показан пример такой ситуации.

Видно, что в течение короткого времени ( $\approx 0.2$  мс) концентрация  $\text{N}_2\text{O}$  выше концентрации  $\text{NO}$  и достигает 5 ppm. Исходя из этого, можно ожидать, что в ДГУ с горением во вращающейся детонационной волне с очень короткими характерными временами процесса основным компонентом оксидов азота будет  $\text{N}_2\text{O}$ . Например, в кольцевой камере ДГУ высотой 0.2 м с вращающейся детонационной волной осевая скорость истечения продуктов детонации  $\sim 1000$  м/с и характерное время процесса составит  $\approx 0.2$  мс. Недавно нам стало известно, что этот эффект (преобладание  $\text{N}_2\text{O}$  в продуктах детонации) зарегистрирован экспериментально в ИГиЛ СО РАН. Таким образом, с помощью детальных кинетических расчетов и экспериментов показано, что эмиссионные показатели ДГУ по выходу оксидов азота значительно ниже, чем в существующих мощных горелках-аналогах. При некоторых условиях, применимых в основном к ДГУ с вращающейся детонацией, основным компонентом оксидов азота может оказаться  $\text{N}_2\text{O}$ .

Работа выполнена при поддержке Министерством образования и науки Российской Федерации

(государственные контракты № 02.516.12.6026 “Разработка процесса импульсного детонационного горения природного газа для повышения эффективности работы энергетических установок” и П502 “Разработка методов численного моделирования нестационарного горения и детонации газов и капельных смесей в каналах сложной геометрии и полуограниченных объемах для применения в импульсно-детонационных энергетических установках”), а также при поддержке Президиумом РАН (Программа фундаментальных исследований №22) и Российским фондом фундаментальных исследований (грант № 11-08-01297).

#### СПИСОК ЛИТЕРАТУРЫ

- Фролов С.М. // Рос. хим. журн. 2008. Т. 52. № 6. С. 129.
- Быковский Ф.А., Митрофанов В.В. // Физика горения и взрыва. 1980. Т. 16. № 5. С. 107.
- Басевич В.Я., Когарко С.М., Тюрин А.Н. // Хим. физика. 1983. Т. 2. № 1. С. 113.
- Фролов С.М., Аксенов В.С., Иванов В.С. и др. // Горение и взрыв. 2011. Вып. 4. С. 101.
- Burner design parameter for flue gas  $\text{NO}_x$  control. Tulsa, OK: Bull. Jhon Zink Co., 1993.